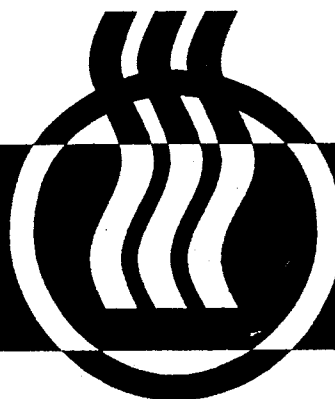


ТЕПЛОМАССООБМЕН ММФ-96

ТОМ IV

ЧАСТЬ 2



MIF - 96
HEAT/MASS TRANSFER

Академия наук Беларуси
АНК "Институт тепло-
и массообмена им. А.В. Лыкова"

**ТЕПЛОМАССООБМЕН-
ММФ-96**

**HEAT / MASS TRANSFER-
MIF-96**

**III Минский международный форум
(20-24 мая 1996 г.)**

Том IV

**ТЕПЛОМАССООБМЕН
В ДВУХФАЗНЫХ
СИСТЕМАХ**

Часть 2

Минск 1996

Л. И. Ульев, В. А. Коровако

ТЕПЛООБМЕН И ИСПАРЕНИЕ ПРИ ПЛЕНОЧНОМ ТЕЧЕНИИ В КОНФУЗОРЕ

Целью настоящей работы является создание методов расчета конусных испарителей. Для этого разработана математическая модель процесса, которая корректировалась с помощью экспериментов, проведенных на конусных элементах с углами раствора $2\alpha = 30^\circ, 45^\circ, 60^\circ$. Радиус входного отверстия R_{in} и длина образующей L (рис. 1) были одинаковы и равны 0,54 и 0,474 м соответственно. Конусные элементы изготавливались из шлифованных стальных листов толщиной $1,5 \times 10^{-3}$ м. Над конусом располагалось переливное распределительное устройство высотой $d=0,05$ м, на которое подавалась вода, предварительно нагретая до температуры насыщения.

Эксперименты проводились при изменении расхода жидкости в пределах $Q = 7 \times 10^{-5} \dots 2,8 \times 10^{-4}$ м³/с (ламинарное течение) и полезной разности температур $\Delta T = T_a - T_v = 5 \dots 25^\circ$ К, где T_a, T_v - температура граничного пара и насыщения в конфузоре.

Для исследования течения и испарения запишем уравнения движения и теплообмена в биконических координатах [1], вершина которых совпадает с вершиной конуса (рис. 1), где $z' = r \cos \alpha + x \sin \alpha$, $y' = (r \sin \alpha - x \cos \alpha) \sin \phi$, $z' = (r \sin \alpha - x \cos \alpha) \cos \phi$, и после сравнительной оценки членов в уравнениях они в безразмерных величинах $\xi = r/d_0$, $\chi = x/d_0$, $v = v_r / V_0$, $\delta = h/d_0$, $\Theta = (T - T_a) / \Delta T$, $\sigma = \xi \sin \alpha - x \cos \alpha$ примут вид

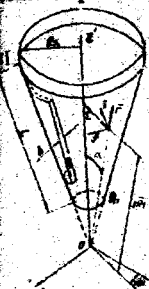
$$\frac{1}{\sigma} \frac{\partial}{\partial \chi} \left[\sigma \frac{\partial v}{\partial \chi} \right] + 48 = 0, \quad \frac{\partial}{\partial \chi} \left[\sigma \frac{\partial \Theta}{\partial \chi} \right] = 0, \quad (1)$$

при граничных условиях

$$v = 0, \quad \frac{\partial \Theta}{\partial \chi} = Bi \Theta, \quad \chi = 0, \quad (2)$$

$$\frac{\partial \Theta}{\partial \chi} = 0, \quad \Theta = 1, \quad \chi = 6, \quad (3)$$

где T - температура в пленке, r, x - радиальная и поперечная координаты, V_0 - величина образующей (рис. 1), h - толщина пленки, $d_0 = 4h_0$.



$$V_0 = \frac{Q}{2\pi R_0 h_0 \sin \alpha}, \quad h_0 = \left[\frac{3\mu Q}{\rho g R_0 \sin 2\alpha} \right]^{1/3}, \quad Bi - \text{число Био, } \mu - \text{динамический}$$

коэффициент вязкости, ρ - плотность, V_r - радиальная скорость.

Отметим, что зависимость (1) от ξ не является характеристикой развивающегося конвективного теплообмена, а характеризует влияние кривизны поверхности теплообмена на распределение скорости и температуры в пленке для каждого сечения по ξ .

Уравнения баланса жидкости можно записать, учитывая условие Стевана на границе раздела фаз, но, т. к. $\frac{\partial \theta}{\partial x} \gg \frac{\partial \theta}{\partial \xi}$ и считая, что в газовой фазе $V\theta=0$, мы можем условие для теплового потока перенести на твердую границу и получить

$$\frac{d}{d\xi} \left[\xi \int_0^\delta v \, dx \right] = -\xi \frac{Ste}{Pe} \left[\frac{d\theta}{dx} \right]_{x=0}. \quad (4)$$

где $Ste = c \Delta T/H$, $Pe = V_0 d / a$, c - теплоемкость, a - температуропроводность, H - удельная теплота парообразования.

Получим решения (1)-(4) и, учитывая, что $x/\xi \ll 1$, а $\operatorname{ctg} \alpha$ в пределах пленки изменяется незначительно, запишем их в виде

$$v = 24 \delta^2 \left[1 - \left(\frac{x}{\delta} - 1 \right)^2 \right], \quad \theta = \frac{1 + Bi \chi}{1 + Bi \delta}.$$

И тогда из (5) получим

$$\frac{d\delta}{dx} = \frac{1}{48\delta^2} \frac{Ste}{Pe} \frac{\delta}{Nu} + \frac{\delta}{3(\xi_0 - 1)} \quad (5)$$

с начальным условием $\delta = \delta_0 = 0,25$ при $x=0$, где $1 = \xi_0 - \xi$, $\xi_0 = R_0/d$,

$$Nu = Bi \left. \theta \right|_{x=0} = \frac{Bi}{1 + \delta Bi}. \quad (6)$$

Влияние поверхностных волн на теплообмен можно учесть поправкой Зозули [2]

$$Nu_g = Nu \times 0,8 (Re/4)^{0,11}, \quad (7)$$

$$\text{где число } Re = 4\rho V d, \delta/\mu = Re_0 \delta V/\delta_0, \quad Re_0 = 4\rho V h_0/\mu, \quad V = \frac{1}{\delta} \int_0^\delta dx = 16\delta^2$$

и тогда $Re = 64 Re_0 \delta^3$.

Влияние волнообразования изучалось сопоставлением величины уде-

ального паросъема $w = \rho V_0 (1 - 64 \varepsilon_0 \delta_1^3) / 2 \varepsilon_1 (1 - \varepsilon_0)^2$ (где $\varepsilon_0 = \varepsilon_1 / \varepsilon_0 = R_1 / R_0$ (рис. 1), δ_1 — толщина пленки на выходе из конфузора), полученной с помощью численного интегрирования (5) при Nu , вычисляемым по (6) и (7) с экспериментальными данными. Число Bi оценивалось с учетом температурного сопротивления стенки и пленки конденсата греющего пара.

Сравнение экспериментальных и теоретических результатов приведено на рис. 2 для зависимости w от расхода. Здесь а) 1 и 4 — для случая с $\Delta T = -15$ К и $2\alpha = 60^\circ$, 2 и x — для $\Delta T = -20$ К и $2\alpha = 60^\circ$, 3 и \square — для $\Delta T = -15$ К и $2\alpha = 45^\circ$, 4 и o — для $\Delta T = -20$ К и $2\alpha = 45^\circ$, б) для $\Delta T = -5$ К и $2\alpha = 30^\circ$. А, x , \square , o , + — экспериментальные данные с 95% доверительной областью. Пунктирные линии — для расчета по (6), сплошные — по (7).

Наблюдаем хорошее согласие результатов эксперимента для $2\alpha = 30^\circ$ и 45° и Nu , вычисленном по (7) при переменном Q , а $\Delta T = \text{const}$. Для $2\alpha = 60^\circ$ хорошее совпадение наблюдается при Nu , рассчитанном по (8). При $Q = \text{const}$ и изменяющемся ΔT получаем аналогичное соотношение между экспериментом и расчетом. Для плоского течения подобные эффекты наблюдались в [3]. Подобное влияние на вознообразование может оказывать и изменение кривизны поверхности [4], и увеличение толщины пленки. Далее будем предполагать, что влияние волн на теплообмен при $\alpha < 25^\circ$ существенно и его необходимо учитывать, а при $\alpha > 25^\circ$ несущественно.

В качестве примера рассмотрим испарение пленки в конфузоре при $2\alpha = 60^\circ$, $Pe = 208$, $Bi = 8.1$, $\varepsilon_0 = 1405$ и различных Ste . Результаты расчета показаны на рис. 3 в виде зависимостей от безразмерной длины l : а) числа Нуссельта — сплошные линии, безразмерной толщины пленки δ — пунктирные, б) безразмерного расхода $Q = Q/Q_0 = 16\varepsilon\delta^3/\delta_0$ — сплошные ($\varepsilon = \varepsilon/\varepsilon_0$), средней скорости V — пунктирные, где 1- $Ste = 0$; 2- $Ste = 0.911 \times 10^{-2}$; 3- $Ste = -0.273 \times 10^{-1}$; 4- $Ste = -0.287 \times 10^{-1}$; 5- $Ste = -0.365 \times 10^{-1}$.

В случае $Ste = 0$ толщина пленки вдоль конфузора только возрастает, что, очевидно, приводит к уменьшению Nu , а средняя скорость растет как δ^2 . Уменьшение Ste приводит к увеличению скорости фазового перехода, и рост δ вдоль l замедляется. При $Ste = -0.273 \times 10^{-1}$ наблюдается экстремум в зависимости δ от l , это связано с тем, что на некотором расстоянии от входа в конфузор увеличение толщины пленки за-

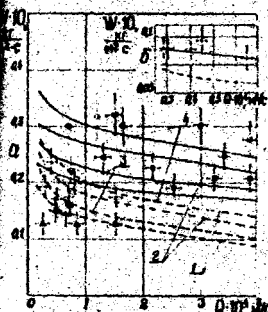
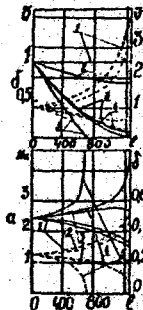


Рис. 2

между экспериментом и расчетом. Для плоского течения подобные эффекты наблюдались в [3]. Подобное влияние на вознообразование может оказывать и изменение кривизны поверхности [4], и увеличение толщины пленки. Далее будем предполагать, что влияние волн на теплообмен при $\alpha < 25^\circ$ существенно и его необходимо учитывать, а при $\alpha > 25^\circ$ несущественно.

В качестве примера рассмотрим испарение пленки в конфузоре при $2\alpha = 60^\circ$, $Pe = 208$, $Bi = 8.1$, $\varepsilon_0 = 1405$ и различных Ste . Результаты расчета показаны на рис. 3 в виде зависимостей от безразмерной длины l : а) числа Нуссельта — сплошные линии, безразмерной толщины пленки δ — пунктирные, б) безразмерного расхода $Q = Q/Q_0 = 16\varepsilon\delta^3/\delta_0$ — сплошные ($\varepsilon = \varepsilon/\varepsilon_0$), средней скорости V — пунктирные, где 1- $Ste = 0$; 2- $Ste = 0.911 \times 10^{-2}$; 3- $Ste = -0.273 \times 10^{-1}$; 4- $Ste = -0.287 \times 10^{-1}$; 5- $Ste = -0.365 \times 10^{-1}$.

В случае $Ste = 0$ толщина пленки вдоль конфузора только возрастает, что, очевидно, приводит к уменьшению Nu , а средняя скорость растет как δ^2 . Уменьшение Ste приводит к увеличению скорости фазового перехода, и рост δ вдоль l замедляется. При $Ste = -0.273 \times 10^{-1}$ наблюдается экстремум в зависимости δ от l , это связано с тем, что на некотором расстоянии от входа в конфузор увеличение толщины пленки за-



счет уменьшения смачиваемого периметра начинает преобладать над испарением. В этом случае зависимости $Nu(1)$ и $V(1)$ также экстремальны. А \dot{Q} во всех случаях при $Ste < 0$, очевидно, только уменьшается с 1. Заметим, что начиная с некоторой величиной Ste , пленка в конфузоре должна полностью испариться (случай 5). И, хотя рассматриваемая модель не отражает всей глубины процессов разрыва сплошности и высыпания текущей пленки жидкости [5], как правило, в тех случаях, когда длина пути испарения находилась в пределах конуса, в эксперименте наблюдалось появление сухих пятен или полное высыпание пленки.

Рис. 3.

Чтобы получить расчетную зависимость для $\bar{Nu} = 2 \int_{\xi_1}^{\xi_0} Nu \frac{d\xi}{(\xi_0^2 - \xi^2)}$, перепишем (6) в виде

$$\frac{d\delta}{d\xi} = -\frac{1}{48\xi^2} \frac{Ste}{\xi_0 Pe} \frac{Nu}{\delta} + \frac{\delta}{3\xi}. \quad (8)$$

Легко видеть, что \bar{Nu} будет зависеть от параметров $Sc = [\xi_0 \frac{Ste}{Pe}]$, Bi , а также, как ранее выяснили, от α . Далее, проводя численные эксперименты и обрабатывая их результаты, получаем зависимость

$$\bar{Nu} = 2,51 \left[c - 0,056 + 3 \left(1 - \epsilon \right)^2 - 2,41 \left(1 - \epsilon \right)^3 \right] Sc^{0,024} Bi^{0,224} (\cos \alpha)^{0,383}$$

с среднеквадратичным относительным отклонением от эксперимента 15%. Относительную длину пути испарения можно оценить по зависимости

$$\epsilon_v = 1 - 1,35 \left[0,48 - Sc + 0,8 Sc^2 - 0,23 Sc^3 + 0,02 Sc^4 \right] Bi^{-0,0432}$$

с точностью до 25%.

ЛИТЕРАТУРА

- Гольдин А. М., Карамзин В. А. Гидродинамические основы процессов тонкослойного сепарирования. — М.: Агропромиздат, 1985.
- Баттеруорт Д. Справочник по теплообменникам. — М.: Энергоатомиздат, 1987. — Т. 1. — С. 340–350.
- Bankoff S.G. // Int. J. Heat Mass Transfer. — 1971. — Vol. 14, N. 2. — P. 377–385.
- Капица П. Л., Капица С. П. // ЖЭТФ. — 1949. — Т. 19. Вып. 2. — С. 107–120.
- Баноф // Современное машиностроение. Сер. А. — 1991. — №1. — С. 26–38.